

大阪大学工学部 正員 川谷充郎
大阪大学工学部 正員 小松定夫

1. まえがき 路面凹凸性状は、10数年前より走行自動車の乗心地等に関連して調査報告され、また最近、橋の動的応答に関する測定方法として路面凹凸が注目されているが、未だ基礎資料として充分とは言えない現状である。それらの測定方法は、水準測量、多車輪式プロフィルメータの使用および振動特性既知の自動車走行時ににおける車の振動スペクトルを用いる方法等であるが、これらの場合では、一般交通流を阻害せずに長波長までの路面凹凸を測定できない。これが未だ広範囲に統計データを収集できない原因と考えられる。本研究で試作したレーザ光線による非接触型変位計を用いた光学式路面プロフィルメータは、迅速に、短波長から長波長までの路面凹凸を測定できるものである。本プロフィルメータの測定結果を検証するためには、水準測量により求められた路面凹凸との比較検討を行なう。また、高速道路における測定結果についても述べる。

2. 測定システム (1) 非接触型変位計 図-1に示すように、He-Ne 気体レーザ光線を鉛直面に対して45°の角度で路面に照射し、その反射光を受光レンズで集めイメージセンサ上に像を結ばせる。イメージセンサは自己走査型フォトダイオードアレイであり、512個の光検出素子が28μmの間隔で並べられており、光検出素子の位置を測定することにより変位計から路面までの距離が求められる。キャリブレーションの結果、この非接触型変位計は約0.16mmの分解能を有することが分かった。

(2) プロフィルメータの原理¹⁾ ① 対称系プロフィルメータ 図-2のようには3個の非接触型変位計を一直線上に等間隔 δ_s で配置し、それを以て路面までの距離 h_A, h_B, h_C を測定する。基準線を直線ABとするとき、C点の高さは

$$Y_C = 2Y_B - Y_A - (h_A - 2h_B + h_C) = -(h_A - 2h_B + h_C) = u_1 \quad (1)$$

プロフィルメータが δ_s だけ前進すると、 h'_B, h'_C, h'_D が測定され、基準線からD点までの高さ Y_D は、

$$Y_D = 2Y_C - Y_B - (h'_B - 2h'_C + h'_D) = Y_C + u_1 - 0 + u_2 = Y_C + \sum_{i=1}^2 u_i \quad (2)$$

このように δ_s ずつ離れた地点の基準線からの高さがD点の高さと同様に順次計算される。上の2式において、 u_i は、プロフィルメータの高さやピッケンフの変化の影響を受けずに変位計のワーキングレンジ内ならばえられる値である。② 非対称系プロフィルメータ

短波長の波の測定は、 δ_s を小さくすることにより可能であるが、路面粗度の影響は避けがたく、測定精度が悪くなる。そこで図-3のような非対称系プロフィルメータにより、短波長の波を測定できるようにする。測定値 h_A, h_B, h_C より、直線ABを基準線としたときのC点の高さ Y_C は、

$$Y_C = \frac{m}{m-1} Y_B - \frac{1}{m-1} Y_A + w_1, \quad w_1 = -(h_C - \frac{m}{m-1} h_B + \frac{1}{m-1} h_A), \quad m=16 \quad (3)$$

プロフィルメータが δ_A だけ前進すると、 h'_A, h'_C, h'_D が測定され、基準線からD点までの高さ Y_D は、

$$Y_D = \frac{m}{m-1} Y_C - \frac{1}{m-1} Y_A + w_2, \quad w_2 = -(h_D - \frac{m}{m-1} h'_C + \frac{1}{m-1} h'_A), \quad (4) \quad (Y_A=0 \text{ と仮定})$$

このように δ_A ずつ離れた地点の高さが順次求まる。非対称系プロフィルメータでは、路面粗度の影響が大きく、長波長までの波を測定できない。そこで、長波長の波を対称系、短波長の波を非対称系プロフィルメータで測定し、それらを重ね合わせることにより、広範囲の波長の波を測定できる。

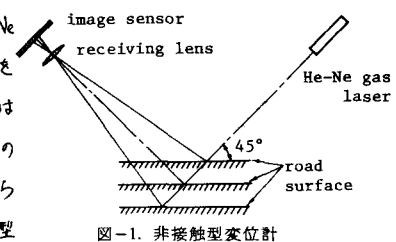


図-1. 非接触型変位計

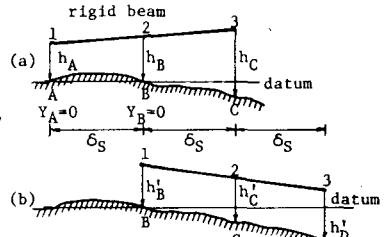


図-2. 対称系プロフィルメータ

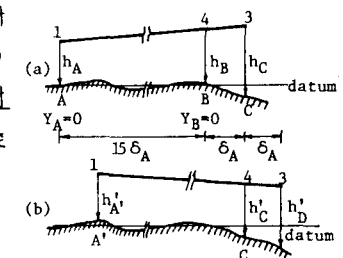


図-3. 非対称系プロフィルメータ

(3)光学式路面プロフィルメータ 本研究では、図-4のような光学式路面プロフィルメータを試作し、0.125m毎の路面凹凸を測定する。ch1, ch2, ch3 で対称系、ch1, ch4, ch3 で非対称系の機能を有する。本プロフィルメータの操作はマイコンで制御し、測定データも RAM に記憶し、それをマイコン本体に装備して 3.5 カセット磁気テープに転送し保存する。

3. 問題点とその対策

(1)基準線の傾きの影響 前章で仮定した基準線は必ずしも水平ではないので、計算された路面の高さは、基準線の傾きを含むことになる。これを補正するために、測定区間の始点と終点を水準測量することにより、基準線の傾きを補正できる。

(2)非対称系における初期値の影響 非対称系プロフィルメータ(図-3)において、AB 間の基準線から高さを測定開始時に 0 と仮定しているため誤差が生ずる。しかし、この誤差は測定開始点より離れる程減少するため、測定区間の 20m 手前から測定開始することにより、この誤差の影響を無視できる程度に小さくすることができます。

(3)車体のひずみの影響 プロフィルメータの車体に永久ひずみがあれば、変位計は一直線には並ばないところになり、前章の測定原理が成立しない。そこで、定盤上における 4 個の変位計の測定値を基準値とし、式(1)～(4)における h_i (h_i ：基準値) を代入することにより、この問題は解決する。

(4)基準値の測定誤差 この基準値測定に含まれる誤差が、路面凹凸による次放物線的な誤差を生じさせる。この誤差の補正には、測定区間の始点を水準測量し、始点の路面凹凸値がこの測量値に合うように基準値を決定する。

4. 測定結果および考察 本プロフィルメータにとって最適な測定時間间隔および走行速度を得たため、それらを種々変化させて測定した結果、それより約 2msec および約 30 km/h が最適であることが分かった。(1)大阪大原吹田地区構内の舗装駐車場における本プロフィルメータによる路面凹凸測定値と水準測量値を比較すると図-5 に示すように、長波長の変動から局部的な凹凸まで広範囲の波長特性を有する波形について良く一致している。また、それらのパワースペクトル密度を比較すると図-6 に示すように良く一致している。(2)阪神高速道路において、比較的古い路面として恵美須町入口ランプおよび開通後間りない大阪湾岸線選定し、測定した路面凹凸パワースペクトル密度と ISO 評価基準を図-7 に対比して示す。ちなみに、ISO 評価基準は走行自動車の振動乗心地により決められたものである。これら 2 つの路面凹凸スペクトルを用いて、支間長 50m の単純合成橋の走行荷重による非定常不規則振動を解析した²⁾。その結果を図-8 に示す。これら 2 種の路面凹凸スペクトルを用い瓦場合、無次元化した二乗平均応答値の $/y_{max}$ は非常に大きい差異を生じることが分かり、路面凹凸の橋の衝撃に与える影響の大なることが認められる。

5. あとがき 本研究において試作した光学式路面プロフィルメータは走行速度約 30 km/h で充分な精度で路面凹凸を測定し得ることが明らかになった。本研究は科学研費補助金試験研究の補助を受けたことに謝意を表す。また阪神高速道路公团工務部の石崎浩氏、および当時大阪大学工学部学生 中家章夫君には 路面凹凸測定に際して協力頂き、感謝申し上げる次第である。

参考文献

- 1) Still, P.B. and P.G. Jordan, TRRL Lab. Rpt. No.922, 1980.
- 2) Komatsu, S. and M. Kawatani, Technol. Rpts. Osaka Univ. Vol.32, March, 1992.

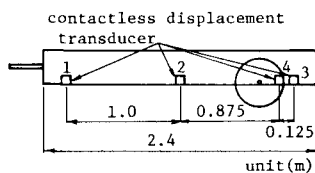


図-4. 光学式路面プロフィルメータ

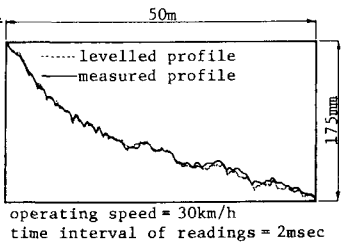


図-5. 路面凹凸測定値

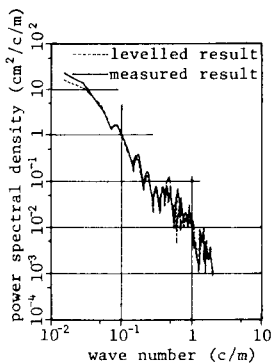


図-6. 路面凹凸パワースペクトル密度

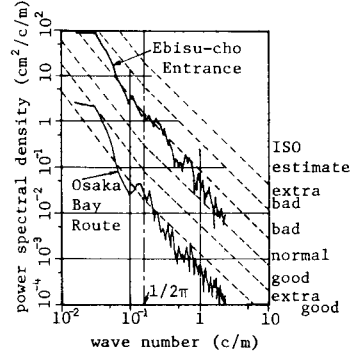


図-7. 路面凹凸パワースペクトル密度
(阪神高速道路)

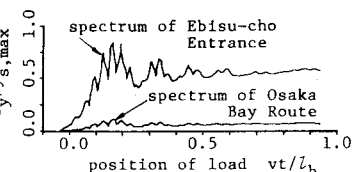


図-8. RMSたわみ応答
span length = 50m, vehicle model = 2-DEG
vehicle weight = 20t, moving speed = 36km/h